

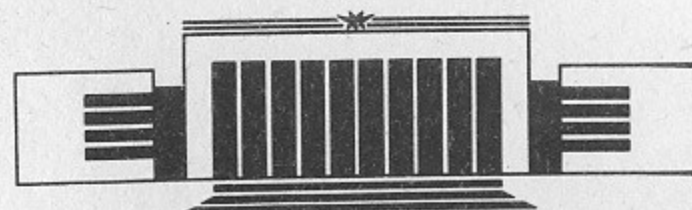


ИНСТИТУТ ЯДЕРНОЙ ФИЗИКИ СО АН СССР

Э.А. Кураев, Н.П. Меренков, В.С. Фадин

ВЫЧИСЛЕНИЕ РАДИАЦИОННЫХ ПОПРАВОК  
К СЕЧЕНИЮ РАССЕЯНИЯ  
ЭЛЕКТРОНОВ НА ЯДРАХ  
МЕТОДОМ СТРУКТУРНЫХ ФУНКЦИЙ

ПРЕПРИНТ 87-101



НОВОСИБИРСК

Вычисление радиационных поправок  
к сечению рассеяния электронов на ядрах  
методом структурных функций

Э.А. Кураев, Н.П. Меренков, В.С. Фадин

Институт ядерной физики  
630090, Новосибирск 90, СССР

## АННОТАЦИЯ

Сечение процесса глубоко неупругого  $e-A$ -рассеяния с учетом радиационных поправок во всех порядках теории возмущений представлено в виде свертки электронных структурных функций с жесткой частью сечения. Проведено явное вычисление жесткой части сечения в низших порядках теории возмущений. Полученные формулы обеспечивают точность лучше 1% даже в тех случаях, когда поправки первого порядка по  $\alpha$  велики ( $\sim 100\%$ ).

## 1. ВВЕДЕНИЕ

Эксперименты по рассеянию электронов на нуклонах и ядрах являются основным методом исследования структуры этих объектов. На ранней стадии экспериментов основное внимание уделялось упругому рассеянию с целью определения формфакторов мишени. В настоящее время наибольший интерес представляют опыты по глубоко неупругому рассеянию (ГНР) электронов и мюонов больших энергий. В таких опытах изучаются структурные функции нуклонов и ядер.

Извлечение из экспериментальных данных формфакторов и структурных функций мишени требует знания радиационных поправок (РП) электромагнитного происхождения. Вычислению их посвящено много работ, начиная с известной работы Ю. Швингера 1949 г. [1]. Если в первые декады после этой работы вычислялись, в основном, РП к сечениям процессов упругого рассеяния (см., например, [2, 3]), то в конце 60-х годов (см. [3, 4]) акцент сместился на процессы ГНР. Точность измерения сечений в проводимых в настоящее время и планируемых экспериментах требует учета РП в высших порядках теории возмущений (ТВ). Особенно необходим такой учет в случаях, когда поправки первого порядка велики (см., например, [4]).

Для мягких фотонов метод учета высших поправок ТВ известен и широко применяется. Он состоит в экспоненцировании дважды логарифмического инфракрасного вклада в РП низшего порядка ТВ [5]. Гораздо сложнее ситуация с жесткими фотонами.

Здесь продвижение связано с использованием аппарата ренормгруппы (РГ). При этом требуется известная аккуратность; некритическое применение РГ для вычисления РП [6] приводит к ошибкам, как было показано в работе [7]. В этой же работе было обращено внимание на возможность вычисления сечений с учетом РП основанным на РГ методом структурных функций, широко применяемым в квантовой хромодинамике (КХД). В работе [7] этот метод использовался для вычисления РП к сечению однофотонной аннигиляции  $e^+e^-$ -пары. В аналогочной ситуации в области энергий  $Z$ -бозона этот метод применялся впоследствии в работе [8].

Метод структурных функций может быть использован для вычисления РП к широкому кругу так называемых «жестких» процессов. Здесь мы рассмотрим его применение к процессу рассеяния электрона на нуклоне или ядре в инклюзивной постановке — для вычисления сечения, дифференциального по углу и энергии конечного электрона. Мерой «жесткости» процесса является величина переданного мишени импульса, большая по сравнению с массой электрона. Сразу оговоримся, что хотя мы будем рассматривать только лептонные РП (именно они дают основной вклад), метод может быть использован и для вычисления РП, связанных с адронами.

План работы следующий. В разделе 2 мы представляем сечение с учетом РП через свертку структурных функций  $D(x, Q^2)$  с жестким сечением (формула (3)), приводим выражения для функции  $D(x, Q^2)$  (формулы (5) — (8)) и жесткого сечения в борновском приближении (формула (11)), в разделе 3 приводим жесткое сечение с учетом поправки  $\sim \alpha$  (формула 15). В Заключении анализируются полученные результаты. В Приложении дается вывод формулы (15).

## 2. РАДИАЦИОННЫЕ ПОПРАВКИ

### В ПРИБЛИЖЕНИИ ГЛАВНЫХ ЛОГАРИФМОВ

В дальнейшем используются следующие обозначения:  $p_1$  ( $p_2$ ) — импульс начального (конечного) электрона,  $P$  — импульс мишени,

$$q = p_1 - p_2, \quad V = 2Pp_1, \quad x = \frac{-q^2}{2Pq}, \quad y = \frac{2Pq}{V}, \quad \tau = \frac{M^2}{V}, \quad Q^2 = Vxy; \quad (1)$$

$m(M)$  — масса электрона (мишени).

Общая формула для инклюзивного сечения рассеяния электрона имеет следующий вид (см. рис. 1):

$$\frac{\varepsilon_2 d^3 \sigma(p_1, p_2)}{d^3 p_2} = \int dz_1 \int dz_2 \cdot z_2^{-2} \sum_{A, A'} D_e^A(z_1, Q^2) \bar{D}_A^e(z_2, Q^2) \times \\ \times \frac{\tilde{\varepsilon}_2 d^3 \sigma_{AA'}^{(hard)}(z_1 p_1, \tilde{p}_2)}{d^3 \tilde{p}_2} \Big|_{\tilde{p}_2 = p_2/z_2}, \quad (2)$$

где  $D_e^A(z, Q^2)$  — структурная функция, дающая распределение по доле энергии  $z$ -партонов сорта  $A$  с виртуальностью до  $Q^2$  в электроне;  $\bar{D}_A^e(z, Q^2)$  — функция фрагментации партона сорта  $A$  с виртуаль-

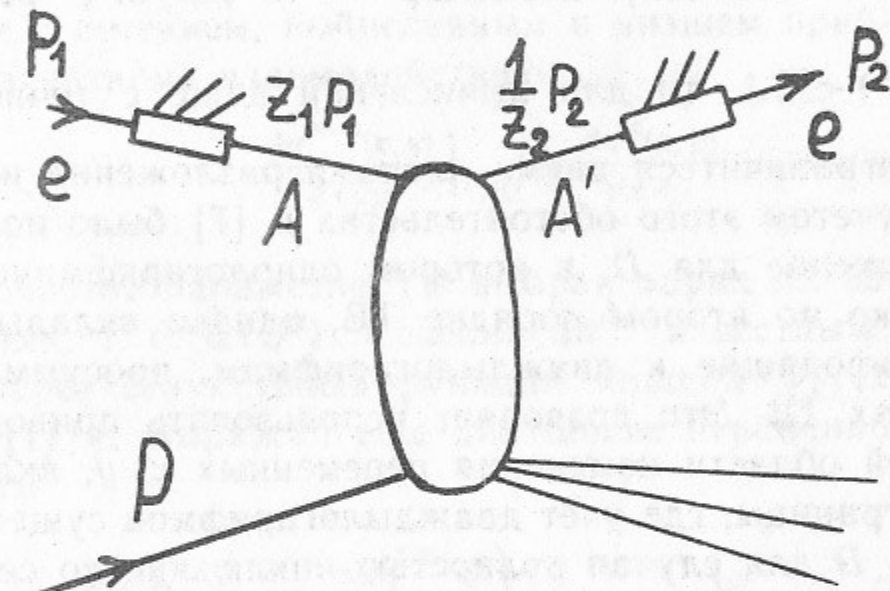


Рис. 1

ностью до  $Q^2$  в электрон с долей энергии  $z$ ;  $\sigma_{AA'}^{(hard)}$  — жесткое сечение рассеяния партона сорта  $A$ , с превращением его в партон сорта  $A'$ . В квантовой электродинамике (КЭД) в роли партонов выступают электроны, позитроны и фотоны. Нижние пределы интегралов по  $z_{1,2}$  в (2) определяются из условий возможности партонного процесса.

В главнологарифмическом приближении (ГЛП), когда в РП суммируются только члены, содержащие на каждую степень  $\alpha$  множитель  $\ln(Q^2/m^2)$ , в (2) следует положить  $A = A' = e$ , в качестве  $\sigma_{AA'}^{(hard)}$  взять сечение в борновском по электромагнитному взаимодействию приближении и использовать соотношение Грибова — Липатова [9]  $D_e^A(z, Q^2) = \bar{D}_A^e(z, Q^2)$ . Переходя к переменным  $x$ ,  $y$  и обозначая  $D_e^e \equiv D$ , получаем из (2)

$$\frac{d\sigma(x, y)}{dx dy} = \int \int \frac{dz_1 dz_2 D(z_1, Q^2) D(z_2, Q^2)}{z_2^2 z_1} \cdot \frac{y d\sigma^{(hard)}(\tilde{x}, \tilde{y})}{\tilde{y} d\tilde{x} d\tilde{y}}, \quad (3)$$

где переменные с тильдой — соответствующие переменные партонного процесса:

$$\tilde{x} = \frac{z_1 y x}{z_1 z_2 + y - 1}, \quad \tilde{y} = \frac{z_1 z_2 + y - 1}{z_1 z_2}, \quad \tilde{Q}^2 = \frac{z_1}{z_2} Q^2, \quad Q^2 = Vxy. \quad (4)$$

Структурные функции  $D(x, Q^2)$  удовлетворяют уравнениям эволюции Липатова [10]. Замкнутое выражение для них не существует. Но поскольку параметр  $\frac{\alpha}{\pi} \ln(Q^2/m^2)$  реально мал,  $\frac{\alpha}{\pi} \ln(Q^2/m^2) < 0.1$ , то для вычислений даже с точностью 0.1% достаточно ограничиться двумя членами разложения по этому параметру. С учетом этого обстоятельства в [7] было получено замкнутое выражение для  $D$ , в котором однологарифмические члены учтены только во втором порядке ТВ, однако вклады от мягких фотонов, приводящие к дваждылогарифмам, просуммированы во всех порядках ТВ. Это позволяет использовать приводимые формулы во всей области изменения переменных  $x, y$ , включая кинематические границы, где учет дваждылогарифмов существен.

Функцию  $D$  для случая полностью инклузивного сечения можно представить в виде

$$D = D^v + D^{e^+ e^-}. \quad (5)$$

В постановке эксперимента, когда события с образованием дополнительной  $e^+ e^-$ -пары не принимаются во внимание:

$$D = D^v. \quad (6)$$

При этом [7]:

$$D^v(x, Q^2) = \frac{1}{2} \beta (1-x)^{\beta/2-1} \left[ 1 + \frac{3}{8} \beta - \frac{1}{48} \beta^2 \left( \frac{1}{3} L + \pi^2 - \frac{47}{8} \right) \right] - \frac{1}{4} \beta (1+x) + \frac{1}{32} \beta^2 \left[ 4(1+x) \ln \frac{1}{1-x} + \frac{1+3x^2}{1-x} \ln \frac{1}{x} - 5 - x \right]; \quad (7)$$

$$D^{e^+ e^-}(x, Q^2) = \left( \frac{\alpha}{\pi} \right)^2 \left[ \frac{1}{12} (1-x)^{-1} \left( 1 - x - \frac{2m}{\epsilon} \right)^{\beta/2} \times \right.$$

$$\times \left( \mathcal{L} - \frac{5}{3} \right)^2 \left( 1 + x^2 + \frac{1}{6} \beta \left( \mathcal{L} - \frac{5}{3} \right) \right) + \frac{1}{4} L^2 \times \\ \times \left( \frac{2}{3} \frac{(1-x^3)}{x} + \frac{1}{2} (1-x) - (1+x) \ln \frac{1}{x} \right) \theta \left( 1 - x - \frac{2m}{\epsilon} \right), \quad (8)$$

$$\mathcal{L} = \ln \frac{Q^2(1-x)^2}{m^2}.$$

Здесь и далее

$$\beta = \frac{2\alpha}{\pi} (L-1), \quad L = \ln \frac{Q^2}{m^2}. \quad (9)$$

Входящее в формулу (3) жесткое сечение процесса в ГЛП совпадает с сечением, вычисленным в низшем приближении ТВ по электромагнитному взаимодействию

$$\frac{d\sigma^{(hard)}(x, y)}{dx dy} \Big|_{\text{ГЛП}} = \frac{d\sigma^{(0)}(x, y)}{dx dy}, \quad (10)$$

если в качестве параметра ТВ выбран заряд на характерных виртуальностях, т. е.  $\alpha(Q^2)$ . Сечение  $d\sigma^{(0)}$  известным образом выражается через структурные функции мишени  $W_{1,2}(x, Q^2)$  (см., например, [11]). Выражая еще партонные переменные  $\tilde{x}, \tilde{y}$  через  $x, y$ , получим

$$\frac{d\sigma^{(0)}(\tilde{x}, \tilde{y})}{\tilde{y} d\tilde{x} d\tilde{y}} = \frac{z_2}{z_1} \cdot \frac{4\pi\alpha^2 \left( \frac{z_1}{z_2} Q^2 \right)}{Q^2 xy^2} \left[ \left( 1 - y - \frac{M^2}{Q^2} x^2 y^2 \right) \frac{Q^2}{2Mx} \times \right. \\ \times \left. W_2 \left( \frac{xz_1 y}{z_1 z_2 + y - 1}, \frac{z_1}{z_2} Q^2 \right) + xy^2 M W_1 \left( \frac{xz_1 y}{z_1 z_2 + y - 1}, \frac{z_1}{z_2} Q^2 \right) \right]. \quad (11)$$

При этом  $\alpha(Q^2) = \alpha / |1 - \Pi(q^2)|$ ,  $\Pi(q^2)$  — поляризационный оператор фотона.

Нижние пределы интегрирования по  $z_1$  и  $z_2$  в формуле (3) определяются из условия существования партонного сечения  $d\sigma^{(hard)}$ . Можно выделить два вклада в интеграл (3): собственно неупругий вклад, начинающийся с  $(P + \tilde{q})^2 = M_{th}^2$ ,  $M_{th}$  — порог неупругости ( $M_{th} = M + m_\pi$ ), и радиационный хвост упругого пика (УРХ), для которого  $(P + \tilde{q})^2 = M^2$ . Используя (1) и (3), получаем, что для первого вклада область интегрирования по  $z_1, z_2$  ограничена неравенством

$$z_1 z_2 + y - 1 - xyz_1 \geq z_1 \delta, \quad \delta = \frac{M_{th}^2 - M^2}{V}. \quad (12)$$

С учетом условий  $z_{1,2} \leq 1$  получаем заштрихованную область на рис. 2. Область интегрирования для УРХ вырождается в кривую, которая получается из (12) отбрасыванием неравенства и обращением  $\delta$  в нуль (см. рис. 2). Вклад кривой в двукратный интеграл отличен от нуля благодаря тому, что  $W_{1,2}$  содержат  $\delta$ -функции, соответствующие упругому процессу; так, для рассеяния на протоне или нейтроне

$$\begin{aligned} MW_1(x, Q^2) &= \frac{1}{2} \delta(x-1)(F_1(q^2) + F_2(q^2))^2, \\ \frac{1}{M} W_2(x, Q^2) &= \frac{2}{Q^2} \delta(x-1) \left( F_1^2(q^2) + \frac{Q^2}{4M^2} F_2^2(q^2) \right), \end{aligned} \quad (13)$$

где  $F_i$  — паулиевские формфакторы.

На важность вклада УРХ в РП для ГНР обращалось внимание еще в [3]. Возможна такая постановка эксперимента, при которой отбираются только события без изменения структуры мишени. В этом случае УРХ представляет самостоятельный интерес.

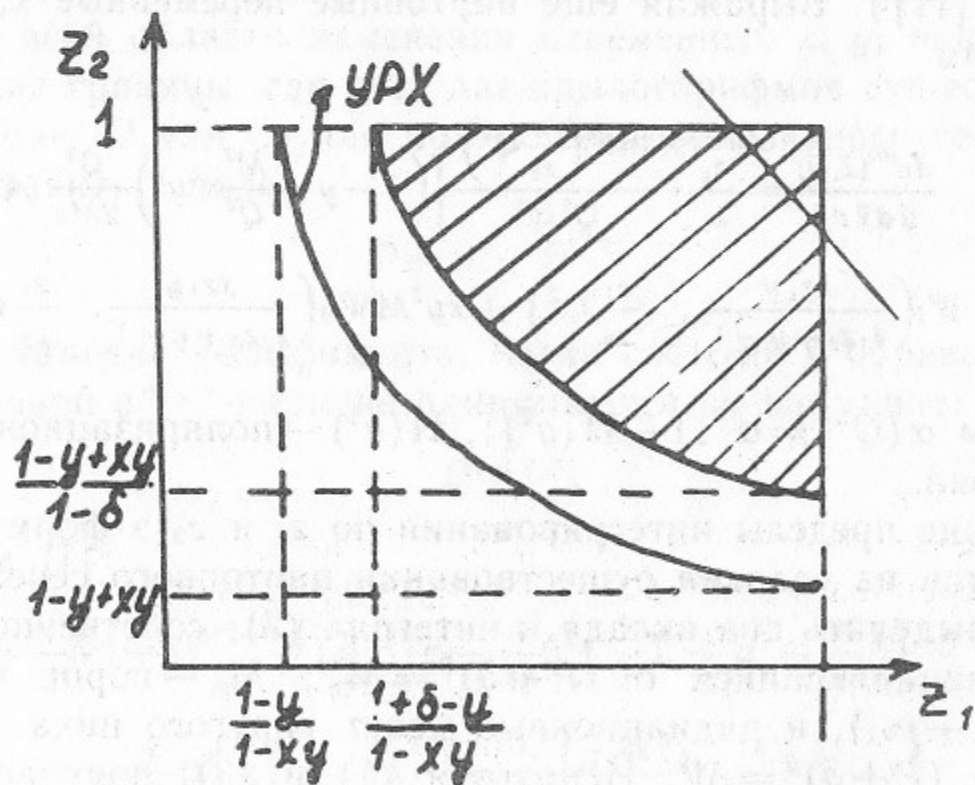


Рис. 2

### 3. ВЫХОД ЗА РАМКИ ГЛП

Как известно, в КХД решается задача учета всех поправок типа  $\alpha (\alpha L)^n$ . Она требует модификации как структурных функций  $D(x, Q^2)$ , так и жесткого сечения  $d\sigma^{(hard)}$ . В рамках же КЭД в силу малости параметра  $(\alpha L)$  нет необходимости суммирования всех членов типа  $\alpha (\alpha L)^n$ , достаточно из них удержать только член  $\sim \alpha$ . Поэтому можно по-прежнему пользоваться формулой (3) с функциями  $D(x, Q^2)$ , определенными в (5) — (8), и только уточнить выражение для  $d\sigma^{(hard)}$ : в отличие от формулы (10) мы имеем теперь

$$\frac{d\sigma^{(hard)}(x, y)}{dx dy} = \frac{d\sigma^{(0)}(x, y)}{dx dy} + \frac{d\sigma^{(1)}(x, y)}{dx dy}, \quad (14)$$

где  $d\sigma^{(1)}$  — жесткая поправка к  $d\sigma^{(0)}$  относительного порядка  $\alpha$ . Для того, чтобы получить эту поправку, нужно найти  $d\sigma(x, y)/dx dy$  в  $\alpha^3$ -порядке ТВ по электромагнитному взаимодействию и вычесть из него вычисленную в том же порядке правую часть формулы (3) с  $d\sigma^{(hard)} = d\sigma^{(0)}$ . Детали вычислений приведены в Приложении. Окончательный ответ имеет вид (см. также (15а)):

$$\begin{aligned} \frac{d\sigma^{(hard)}(x, y)}{dx dy} &= \frac{d\sigma^{(0)}(x, y)}{dx dy} \left( 1 - \frac{\alpha}{\pi} \left[ \frac{1}{2} \ln^2 \left( \frac{1-z_+}{1-xy} \right) + \frac{1}{2} + \frac{\pi^2}{6} + \right. \right. \\ &\quad \left. \left. + f \left( \frac{1-y-xy\tau}{(1-xy)(1-z_+)} \right) \right] \right) + \frac{\alpha}{Vx} \int_0^{z_+} \frac{dz}{z_+-z} \left\{ \left[ \left( 1 + \frac{1}{r_2^2} \right) \ln \frac{(1-z_+)^2}{xy(z_++\tau)} + \right. \right. \\ &\quad \left. \left. + \left( \frac{z_+-z}{1-z} \right)^2 \right] G(z, r_2) + \left[ \left( 1 + \frac{1}{r_1^2} \right) \ln \frac{(1-xy)^2}{xy(z_++\tau)} + \left( \frac{z_+-z}{1-y+z} \right)^2 \right] G(z, r_1) + \right. \\ &\quad \left. \left. + \int_{r_-(z)}^{r_+(z)} dr (z_+-z) \left[ \frac{2G(z, r)}{r^2 \sqrt{y^2 + 4\tau xy}} - \frac{1}{(1-z_+)|r-r_2|} \left( \frac{(1+r^2)G(z, r)}{r^2(1-r)} - \right. \right. \right. \right. \\ &\quad \left. \left. \left. \left. - \frac{(1+r_2^2)G(z, r_2)}{r_2^2(1-r_2)} \right) + \frac{1}{(1-xy)|r-r_1|} \left( \frac{(1+r^2)G(z, r)}{r^2(1-r)} - \frac{(1+r_1^2)G(z, r_1)}{r_1^2(1-r_1)} \right) + \right. \right. \\ &\quad \left. \left. \left. \left. + \frac{V\alpha^2(Q'^2)W_2(x', Q'^2)}{Mxyr^2(1-r)} \left( -\frac{2(1-y)(1-r)}{\sqrt{y^2 + 4\tau xy}} - \frac{(1-y-r)(r-r_2)}{|r-r_2|} + \right. \right. \right. \right. \\ &\quad \left. \left. \left. \left. + \frac{(1-r)(1-y)(r-r_1)}{|r-r_1|} \right) \right] \right\}. \end{aligned} \quad (15)$$

В (15) использованы следующие обозначения:

$$f(t) = \int_0^t \frac{dz}{z} \ln(1-z),$$

$$G(z, r) = \alpha^2(Q'^2) \left[ 2M W_1(x', Q'^2) + \frac{V}{M} W_2(x', Q'^2) \left( \frac{1-y}{xy} - \tau \right) \right],$$

$$x' = \frac{xyr}{xyr+z}, \quad Q'^2 = Q^2 r, \quad r_1 = \frac{1-y+z}{1-xy}, \quad (16)$$

$$r_2 = \frac{1-z}{1-z_+}, \quad z_+ = y(1-x),$$

$$r_{\pm}(z) = \frac{1}{2xy(\tau+z_+)} [2xy(\tau+z) + (z_+ - z)(y \pm \sqrt{y^2 + 4\tau xy})].$$

В формуле (15) пределы интегрирования по  $z$  простираются несколько условно. Здесь, также как и в (3), существуют два вклада в интеграл. Один из них — собственно неупругий; для него

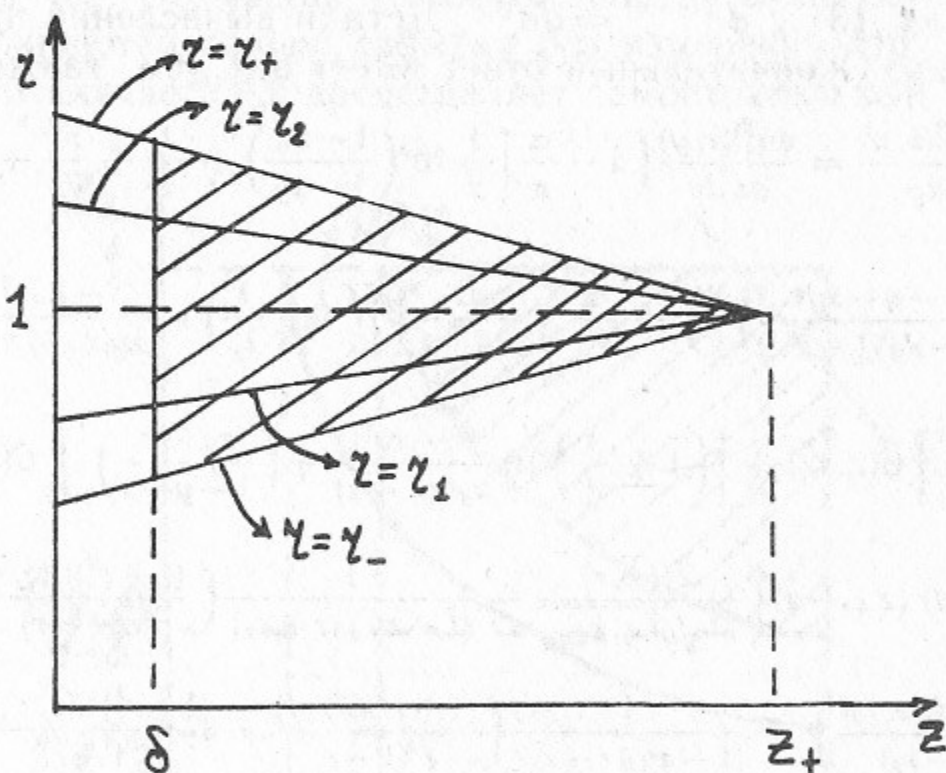


Рис. 3

область интегрирования по переменным  $r, z$  представлена на рис. 3 заштрихованным треугольником, интегрирование по  $z$  для этого вклада ведется от  $\delta = (M_{th}^2 - M^2)/V$  до  $z_+ = y(1-x)$ . Второй

вклад, связанный с УРХ, дает отрезок  $z=0, r_-(0) \leq r \leq r_+(0)$ ; для вычисления этого вклада нужно в формулах (15), (16) использовать значения  $W_{1,2}$  в упругом пределе, см. (13).

Заметим, что физический смысл переменных интегрирования таков:  $z = (M_x^2 - M^2)/V$ ,  $r = Q'^2/Q^2$ , где  $M_x$  — инвариантная масса системы адронов, рождающейся при столкновении фотона, имеющего виртуальность  $Q'^2$ , с мишенью.

Подчеркнем, что жесткое сечение в формуле (3) не содержит ни коллинеарных, ни инфракрасных сингулярностей — все они содержатся в структурных функциях  $D(z, Q^2)$ . В формуле (15) отдельные члены имеют сингулярности при  $r=r_2$ ,  $r=r_1$ ,  $z=z_+$ ,  $r=1$ . Сингулярности в первых двух точках коллинеарные, в третьей — инфракрасные, и в четвертой — не физические, возникшие при интегрировании. Нетрудно убедиться, что все эти сингулярности сокращаются между собой, так что все точки являются не особыми.

Подынтегральное выражение в (15) можно переписать в виде, не содержащем явных инфракрасных расходимостей. Проводя для этой цели преобразования вида

$$G(z, r_1) \left( 1 + \frac{1}{r_1^2} \right) \ln \frac{(1-xy)^2}{xy(\tau+z_+)} +$$

$$+ \int_{r_-}^{r_+} dr \frac{z_+ - z}{(1-xy)|r-r_1|} \left[ \left( 1 + \frac{1}{r^2} \right) \frac{G(z, r)}{1-r} - \left( 1 + \frac{1}{r_1^2} \right) \frac{G(z, r_1)}{1-r_1} \right] =$$

$$= \frac{z_+ - z}{1-xy} \mathcal{P} \int_{r_-}^{r_+} \frac{dr}{(1-r)|r-r_1|} \left[ \left( 1 + \frac{1}{r^2} \right) G(z, r) - \left( 1 + \frac{1}{r_1^2} \right) G(z, r_1) \right],$$

где символ  $\mathcal{P}$  означает интегрирование особенности при  $r=1$  в смысле главного значения, представим выражение (15) в эквивалентном виде:

$$\frac{d\sigma^{(hard)}(x, y)}{dx dy} = \frac{d\sigma^{(0)}(x, y)}{dx dy} \times$$

$$\times \left[ 1 - \frac{\alpha}{\pi} \left( \frac{1}{2} \ln^2 \left( \frac{1-xy}{1-z_+} \right) + \frac{1}{2} + \frac{\pi^2}{6} + f \left( \frac{1-y-\tau xy}{(1-xy)(1-z_+)} \right) \right) \right] +$$

$$+ \frac{\alpha}{Vx} \int_0^{z_+} dz \int_{r_-}^{r_+} dr \left\{ \frac{xy(\tau+z_+)}{\sqrt{y^2 + 4\tau xy}} \times \right.$$

$$\begin{aligned}
& \times \left[ \frac{G(z, r_2)}{(1-z)^2} + \frac{G(z, r_1)}{(1-y+z)^2} + \frac{2G(z, r)}{xyr^2(\tau+z_+)} \right] + \frac{\mathcal{P}}{(1-r)} \times \\
& \times \left[ \frac{1}{(1-xy)|r-r_1|} \left( \left( 1 + \frac{1}{r^2} \right) G(z, r) - \left( 1 + \frac{1}{r_1^2} \right) G(z, r_1) \right) - \frac{1}{(1-z_+)|r-r_2|} \times \right. \\
& \times \left. \left( \left( 1 + \frac{1}{r^2} \right) G(z, r) - \left( 1 + \frac{1}{r_2^2} \right) G(z, r_2) \right) \right] + \frac{\alpha^2(Q'^2) \cdot M W_2(x', Q'^2)}{r_2(1-r)xy\tau} \times \\
& \times \left[ \frac{-2(1-r)(1-y)}{\sqrt{y^2+4\tau xy}} + \frac{(1-y-r)(r_2-r)}{|r_2-r|} - \frac{(1-r(1-y))(r_1-r)}{|r_1-r|} \right] \}. \quad (15a)
\end{aligned}$$

#### 4. ЗАКЛЮЧЕНИЕ

До сих пор все наши рассуждения велись так, будто в задаче есть только параметры  $\alpha$  и  $L = \ln(Q^2/m^2)$ . Отсюда очевидно вытекало, что в данном порядке по  $\alpha$  самая «выгодная» кинематика — та, в которой набирается «большой логарифм»  $L$ .

Как известно (см., например, [3, 12]), это не всегда так. Причиной неприменимости так называемой пиковой аппроксимации, основанной на выделении логарифмических вкладов, является резкая зависимость функции  $W_i$  от своих аргументов. В тех кинематических областях, где разрешено излучение жестких фотонов, может оказаться выгодным его излучение не в коллинеарной кинематике. При этом проигрыш в вероятности излучения (потеря  $L$ ) компенсируется выигрышем в величине партонного сечения.

Следует поэтому среди поправок данного по  $\alpha$  порядка отличать те, которые вводят в игру новые области изменения аргументов функций  $W_i$ , от тех, которые этого не делают. Для поправок 2-го типа классификация их по  $\alpha$  и  $L$  остается справедливой, но для поправок 1-го типа она не работает.

Улучшение точности формулы (3) по сравнению с ГЛП требует вычисления поправок к  $D$  и поправок к  $\sigma^{(hard)}$ . Очевидно, что поправки к  $D$  относятся ко 2-му типу; первая, вычисленная нами поправка к  $\sigma^{(hard)}$ , очевидно, является поправкой 1-го типа; однако поправки высшего порядка к  $\sigma^{(hard)}$ , как и поправки к  $D$ , будут принадлежать ко 2-му типу.

В силу сказанного точность формулы (3) с функциями  $D$  из (5) — (8) и  $\sigma^{(hard)}$  из (15) такова, что отброшенные члены имеют порядок  $\frac{\alpha}{\pi} \cdot \delta_1$ , где  $\delta_1$  — поправка в 1-ом приближении ТВ. Это

значит, что даже в тех случаях, когда поправка 1-го приближения ТВ достигает величины  $\sim 100\%$  (исследованию высших поправок в таких ситуациях посвящен ряд работ, см., например, [13] и ссылки там), упомянутая точность не хуже 1%.

В работе авторов [15] приведены результаты расчета поправок 2-го типа в двухпетлевом приближении.

Конечно, мы рассматривали только те передачи  $Q^2$ , где можно пренебречь вкладом нейтральных слабых токов. Но от этого ограничения легко избавиться — достаточно использовать известную формулу для  $d\sigma^{(0)}$  с учетом этого вклада.

#### Приложение

Поскольку поляризация вакуума включена в  $\frac{d\sigma_0(x, y)}{dx dy}$ , виртуальные лептонные РП первого порядка даются формфактором электрона и равны

$$\frac{d\sigma_{virt}}{dx dy} = \frac{d\sigma^{(0)}}{dx dy} \cdot \frac{2\alpha}{\pi} \left[ \ln \frac{\lambda}{m} (L-1) - \frac{1}{4} L^2 + \frac{3}{4} L + \frac{\pi^2}{12} - 1 \right]. \quad (\text{П1})$$

Суммируя их с РП за счет излучения мягких фотонов с частотой  $\omega < \Delta\epsilon$  (см. [13], формулы (43), (44)), получаем

$$\begin{aligned}
& \frac{d\sigma_{virt}}{dx dy} + \frac{d\sigma_{soft}}{dx dy} = \frac{d\sigma_0}{dx dy} \cdot \frac{\alpha}{\pi} \times \\
& \times \left[ (L-1) \ln \frac{(\Delta\epsilon)^2}{\epsilon_1 \epsilon_2} + \frac{3}{2} L - \frac{1}{2} \ln^2 \left( \frac{\epsilon_1}{\epsilon_2} \right) - \frac{\pi^2}{6} - 2 - f \left( \cos^2 \frac{\theta}{2} \right) \right], \quad (\text{П2})
\end{aligned}$$

где  $\epsilon_{1,2}$  — энергии начального и конечного электронов;  $\theta$  — угол между их импульсами.

Сечение излучения фотонов с частотой  $\omega > \Delta\epsilon$  можно представить в виде

$$d\sigma^{(r)} = \frac{\alpha \cdot \alpha^2(Q'^2)}{(2\pi)^3 Q'^4} \frac{B_{\mu\nu} K^{\mu\nu}}{p_1 P} \frac{d^3 k}{\omega} \frac{d^3 p_2}{\epsilon_2}. \quad (\text{П3})$$

Здесь  $Q'^2 = -q'^2$ ,  $q' = p_1 - p_2 - k$ ,  $K_{\mu\nu}$  — тензор ГНР (см. [11], стр. 170):

$$\frac{M}{\pi} K_{\mu\nu} = 4 W_2 \left( \frac{Q'^2}{2Pq'}, Q'^2 \right) \left( P_\mu - q'_\mu \frac{(q'P)}{q'^2} \right) \left( P_\nu - q'_\nu \frac{(q'P)}{q'^2} \right) -$$

$$-4W_1\left(\frac{Q'^2}{2Pq'}, Q'^2\right) \cdot M^2\left(g_{\mu\nu} - \frac{q'_\mu q'_\nu}{q'^2}\right), \quad (\text{П4})$$

а  $B_{\mu\nu}$  — лептонный комптоновский тензор (см., например, [14], формулы (11) — (14)):

$$\begin{aligned} B_{\mu\nu} = & \left[ -\frac{1}{\chi_1\chi_2}(Q^4 + Q'^4) - 2 + 2m^2Q'^2\left(\frac{1}{\chi_1^2} + \frac{1}{\chi_2^2}\right) \right] \times \\ & \times \left( g_{\mu\nu} - \frac{q'_\mu q'_\nu}{q'^2} \right) + \left( \frac{4Q'^2}{\chi_1\chi_2} - \frac{8m^2}{\chi_2^2} \right) \left( p_{1\mu} - q'_\mu \frac{(q'p_1)}{q'^2} \right) \left( p_{1\nu} - q'_\nu \frac{(q'p_1)}{q'^2} \right) + \\ & + \left( \frac{4Q'^2}{\chi_1\chi_2} - \frac{8m^2}{\chi_1^2} \right) \left( p_{2\mu} - q'_\mu \frac{(q'p_2)}{q'^2} \right) \left( p_{2\nu} - q'_\nu \frac{(q'p_2)}{q'^2} \right), \end{aligned} \quad (\text{П5})$$

где  $\chi_{1,2} = 2(p_{1,2}k)$ . Здесь и далее мы пренебрегаем членами, которые дают зануляющийся при  $m \rightarrow 0$  вклад в  $\frac{d\sigma}{dx dy}$ .

Проводя в (П3) свертку тензоров, переходя к переменным (1) и используя обозначения (16), с указанной точностью получаем

$$\begin{aligned} \frac{d\sigma^{(r)}}{dx dy} = & 2\alpha y \int \frac{d^3 k}{2\pi\omega} \left\{ G(z, r) \times \right. \\ & \times \left[ \frac{1}{\chi_1\chi_2} \left( 1 + \frac{1}{r^2} \right) + \frac{2}{Q^4 r^2} - \frac{2m^2}{Q^2 r} \left( \frac{1}{\chi_1^2} + \frac{1}{\chi_2^2} \right) \right] + \\ & + \frac{V \cdot \alpha^2(Q'^2) W_2(x', Q'^2)}{Mxyr^2(1-r)} \left[ -\frac{2(1-y)(1-r)}{Q^4} + \right. \\ & \left. \left. + \frac{(1-z)(1-y-r)}{\chi_2 Q^2} \left( 1 - \frac{r}{r_2} \right) - \frac{(1-y+z)(1-r(1-y))}{\chi_1 Q^2} \left( 1 - \frac{r}{r_1} \right) \right] \right\}. \end{aligned} \quad (\text{П6})$$

Здесь член с  $W_2$  не имеет ни коллинеарных, ни инфракрасных сингулярностей и целиком входит в жесткое сечение. Делая упомянутые пренебрежения, член с  $G$  в фигурных скобках (П6) представим в следующем виде:

$$\begin{aligned} \frac{1}{Q^2\chi_1} \left( \left( 1 + \frac{1}{r^2} \right) \frac{G(z, r)}{1-r} - \left( 1 + \frac{1}{r_1^2} \right) \frac{G(z, r_1)}{1-r_1} \right) + \left( \begin{smallmatrix} \chi_1 \rightarrow -\chi_2 \\ r_1 \rightarrow r_2 \end{smallmatrix} \right) + \\ + \frac{2G(z, r)}{Q^4 r^2} + \left[ \left( \frac{1}{(1-r_1)Q^2\chi_1} \left( 1 + \frac{1}{r_1^2} \right) - \frac{2m^2}{Q^2 r_1 \chi_1^2} \right) G(z, r_1) + \left( \begin{smallmatrix} \chi_1 \rightarrow -\chi_2 \\ r_1 \rightarrow r_2 \end{smallmatrix} \right) \right]. \end{aligned} \quad (\text{П7})$$

Здесь члены вне квадратных скобок не имеют коллинеарных сингулярностей. Для них, так же как для членов с  $W_2$  в (П6), используя

$$\frac{d^3 k}{2\pi\omega} = \frac{Q^2}{2\sqrt{y^2 + 4\tau xy}} \frac{d\phi}{2\pi} dz dr,$$

где  $\phi$  — азимутальный угол вылета фотона в системе  $\vec{p}_1 + \vec{P} - \vec{p}_2 = 0$  с полярной осью, направленной по  $\vec{P}$ , выполняем интегрирование по  $\phi$  с помощью формул

$$\int \frac{d\phi}{2\pi\chi_1} = \frac{\sqrt{y^2 + 4\tau xy}}{Q^2(1-xy)|r-r_1|}; \quad \int \frac{d\phi}{2\pi\chi_2} = \frac{\sqrt{y^2 + 4\tau xy}}{Q^2(1-z_+)|r-r_2|}. \quad (\text{П8})$$

Представляя  $d^3 k / 2\pi\omega$  в виде  $\frac{dz}{z_+ - z} \frac{\omega^2 d\Omega_k}{2\pi}$ , члены в квадратных скобках в (П7) интегрируем по  $d\Omega_k$ , используя инвариантность  $\omega^2 d\Omega_k$ , в наиболее удобной системе отсчета, получая

$$\int \frac{\omega^2 d\Omega_k}{2\pi} \frac{m^2}{\chi_{1,2}^2} = \frac{1}{2}; \quad \int \frac{\omega^2 d\Omega_k}{2\pi\chi_1} = \frac{z_+ - z}{2(1-xy)} \ln \left( \frac{Q^2(1-xy)^2}{m^2 xy(\tau + z_+)} \right),$$

$$\int \frac{\omega^2 d\Omega_k}{2\pi\chi_2} = \frac{z_+ - z}{2(1-z_+)} \ln \left( \frac{Q^2(1-z_+)^2}{m^2 xy(\tau + z_+)} \right). \quad (\text{П9})$$

Оставшиеся невыполненные интегрирования должны вестись по  $r$  от  $r_-$  до  $r_+$  и по  $z$  от 0 до  $z_+ - 2\frac{\Delta\epsilon}{\sqrt{V}}\sqrt{z_+ + \tau}$ , так как в сист-

теме  $\vec{P} + \vec{p}_1 - \vec{p}_2 = 0$ ,  $\omega = \frac{\sqrt{V}}{2} \frac{(z_+ - z)}{\sqrt{z_+ + \tau}}$ . Полностью сечение получа-  
ем, учитывая вклад (П2), где  $\epsilon_{1,2}$  и  $\cos\theta$  должны быть взяты в  
той же системе  $\vec{P} + \vec{p}_1 - \vec{p}_2 = 0$ .

Обратимся теперь к формуле (3) с  $d\sigma^{(hard)} = d\sigma^{(0)}$ . Разложение функций  $D(z, Q^2)$  по степеням  $\alpha$  в подынтегральном выражении невозможно из-за сингулярности при  $z_{1,2} = 1$ . Выделим в интеграле область вблизи  $z_{1,2} = 1$  (см. рис.2), ограниченную неравенством

$$(1-z_1)(1-xy) + (1-z_2)(1-z_+) < \frac{2\Delta\epsilon}{\sqrt{V}} \sqrt{z_+ + \tau}, \quad (\text{П10})$$

(это ограничение соответствует ограничению  $z > z_+ - 2\frac{\Delta\epsilon}{\sqrt{V}} \times \sqrt{z_+ + \tau}$ ). Используя в этой области  $D(z) = \frac{\beta}{2}(1-z)^{\beta/2-1} \times \left(1 + \frac{3}{8}\beta\right)$ , получаем, что ее вклад в поправку  $\sim\alpha$  к  $d\sigma^{(0)}$  есть

$$\frac{d\sigma^{(0)}}{dx dy} \left( \frac{3}{4} \beta + \frac{\beta}{2} \ln \left( \frac{4(\Delta\varepsilon)^2}{V} \frac{(z_+ + \tau)}{(1-z_+)(1-xy)} \right) \right). \quad (\text{П11})$$

В оставшейся области хотя бы одно из  $z_i$  не может быть равно 1, так что соответствующее  $D(z, Q^2)$  в  $\alpha$ -порядке равно  $\frac{\beta}{4} \frac{1+z^2}{1-z}$ , а другое, следовательно, может быть взято в нулевом порядке по  $\alpha$ , т. е.  $\delta(z-1)$ ; делая еще в оставшихся после снятия  $\delta$ -функций интегралах замены  $z_1 = \frac{1-y+z}{1-xy}$ ,  $z_2 = \frac{1-z_+}{1-z}$ , получаем вклад этой области в виде

$$\frac{\alpha(L-1)}{Vx} \int_0^{z_+ - \frac{2\Delta\varepsilon}{\sqrt{V}} \sqrt{z_+ + \tau}} \frac{dz}{z_+ - z} \left[ \left( 1 + \frac{1}{r_1^2} \right) G(z, r_1) + \left( 1 + \frac{1}{r_2^2} \right) G(z, r_2) \right]. \quad (\text{П12})$$

Вычитая из суммы  $d\sigma_{virt} + d\sigma_{soft} + d\sigma^{(v)}$  выражения (П11) и (П12), приходим к формуле (15).

## ЛИТЕРАТУРА

1. *Schwinger J.* Phys. Rev., 1949, v.76, p.790.
2. *Tsai Y.S.* Phys. Rev., 1961, v.122, p.1898.  
*Meister N.T., Yennie D.R.,* Phys. Rev., 1963, v.130, p.1210.  
*Motz J.W., Olsen H., Koch H.W.,* Rev. Mod. Phys., 1964, v.36, p.881.  
*Maximon L.C.,* Rev. Mod. Phys., 1969, v.41, p.193.
3. *Mo L.W., Tsai Y.S.,* Rev. Mod. Phys., 1969, v.41, p.205.
4. *Tsai Y.S.* SLAC-PUB-848, Stanford, 1971.  
Ахундов А.А., Бардин Д.Ю., Шумейко Н.М., ЯФ, 1977, т.26, с.1251.  
Bardeen D.Yu., Schumeiko N.M., Nucl. Phys. 1977, v.B127, p.242.  
Бардин Д.Ю., Шумейко Н.М., ЯФ, 1979, т.29, с.969.
5. *Yennie D.R., Suura H.,* Phys. Rev., 1957, v.105, p.1378;  
*Yennie D.R., Frautschi S.F., Suura H.,* Ann. Phys., 1961, v.13, p.379.
6. *Tsai Y.S.* SLAC-PUB-3129, Stanford, 1983.
7. *Кураев Э.А., Фадин В.С.,* ЯФ, 1985, т.41, с.733; Препринт ИЯФ СО АН СССР 84-43, Новосибирск, 1984.
8. *Altarelli G., Martinelli G.,* CERN 86-02, 47.
9. *Грибов В.Н., Липатов Л.Н.,* ЯФ, 1972, т.15, с.1218.
10. *Липатов Л.Н.,* ЯФ, 1974, т.20, с.181.
11. *Фейнман Р.* Взаимодействие фотонов с адронами.—М.: Мир, 1975.
12. *Ахундов А.А., Бардин Д.Ю., Шумейко Н.М.* Препринт ОИЯИ Е2-10147, Дубна, 1976.  
Шумейко Н.М. ЯФ, 1979, т.29, с.1571.
13. *Кураев Э.А., Меренков Н.П., Фадин В.С.* ЯФ, 1987, т.45, с.782
14. *Ахундов А.А., Бардин Д.Ю., Шумейко Н.М.* ЯФ, 1986, т.44, с.1517.
15. *Кураев Э.А., Меренков Н.П., Фадин В.С.* Препринт ИЯФ 87.

*Э.А. Кураев, Н.П. Меренков, В.С. Фадин*

**Вычисление радиационных поправок  
к сечению рассеяния электронов на ядрах  
методом структурных функций**

Ответственный за выпуск С.Г.Попов

---

Работа поступила 5 июня 1987 г.

Подписано в печать 24.07 1987 г. МН 08298

Формат бумаги 60×90 1/16 Объем 1,3 печ.л., 1,0 уч.-изд.л.

Тираж 180 экз. Бесплатно. Заказ № 101

---

*Набрано в автоматизированной системе на базе фотонаборного автомата ФА1000 и ЭВМ «Электроника» и отпечатано на ротапринте Института ядерной физики СО АН СССР,  
Новосибирск, 630090, пр. академика Лаврентьева, 11.*